

# 7. Übung zur Nichtlinearen Dynamik und Fraktallog

7

1. Besprechen des G. Bifurc
2. Poincaré-Bendixson-Theorem
3. Zusammenfassung
4. Zeitschreibe

1. Besprechen des G. Bifurc

G Lösung zu den Zügen

2. Poincaré-Bendixson-Theorem

Thm: Es sei:

- (a) Reine abgeschlossene/begrenzte Umlaufkurve der Ebene ( $\mathbb{R}^2$ )
- (b)  $\dot{x} = f(x)$  ein stetig differenzierbares Vektorfeld auf einer offenen Menge von  $\mathbb{R}$
- (c)  $\mathbb{R}$  ohne Fixpunkt
- (d)  $C$  eine Trajektorie in  $\mathbb{R}$  (Gebiet  $\mathbb{R}$  für alle Seiten)

Annahme

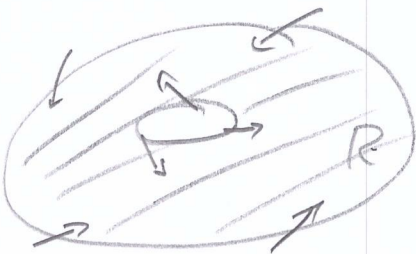
Dann ist  $C$  entweder ein Grenzzyklus/geschlossenes Orbit oder  $C$  nähert sich dem geschlossenen Orbit für  $t \rightarrow \infty$  an.

Folge: Es gibt einen Grenzzyklus in  $\mathbb{R}$ .



Bedingungen (a)-(c) leicht zu prüfen.

Für (d) reicht der Nachweis aus, dass  $C$  in  $R$  geschlossen ist, d.h. das Vektorfeld zeigt ins Innere von  $R$ . Dann schließen alle Trajektorien in  $R$ .



Bsp.: (1)  $\dot{z} = (1+i)z - 12^2 z$ ,  $z \in \mathbb{C}$

$$z = e^{i\theta} r \quad \left( i r e^{i\theta} + i \theta r e^{i\theta} = (1+i)r e^{i\theta} - r^3 e^{i\theta} \right)$$

$$\Rightarrow \begin{cases} \text{Re: } \dot{r} = r - r^3 \\ \text{Im: } \dot{\theta} = 1 \end{cases} \quad \begin{array}{l} \Rightarrow \text{Eremitay: } r = r - r^3 + \mu + \cos \theta \\ \quad \quad \quad \dot{\theta} = 1 \end{array}$$

Fall:  $\mu = 0$ :  $\dot{r} = 0 \Rightarrow r = 0$  oder  $r = 1$

$\mu > 0$ : Grenzzugknoten existiert (ca. 1 Fixpunkt bei  $r=0$  und 1 bei  $r=1$ )

Idee: Konstruiere Kreise mit  $r_{\max}$  &  $r_{\min}$ , wobei  $i < 0$  bzw.  $i > 0$ .  
Knoten nach innen weichen

$\Rightarrow$  Dann ist  $R$  gegeben durch Scheibe  $0 < r_{\min} < r < r_{\max}$ , wobei  
keine Fixpunkte liegen, weil  $\dot{\theta} = 1$ .

$$r_{\min}: \dot{r} = r(1-r^2) - \mu r \cos \theta > 0$$

$$\cos \theta = 1 \quad 1 - r^2 - \mu > 0 \Rightarrow r_{\min} < \sqrt{1-\mu} \text{ etwa } r_{\min} = 0.999 \sqrt{1-\mu} \quad \mu < 1$$

$$r_{\max}: \dot{r} = r(1-r^2) - \mu r \cos \theta < 0$$

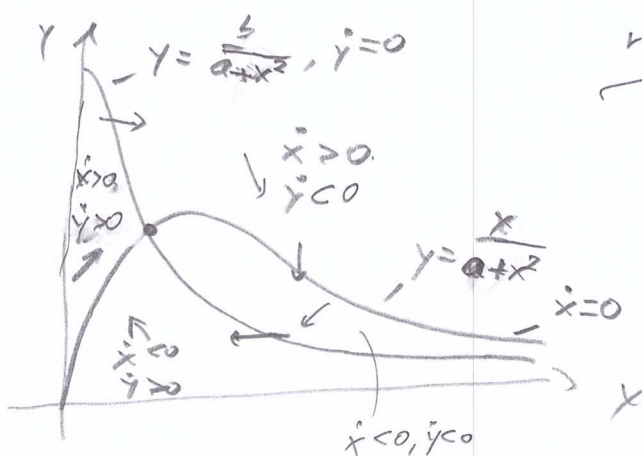
$$-1 < \cos \theta < 1 \quad 1 - r^2 + \mu < 0 \Rightarrow r_{\max} > \sqrt{1+\mu} \text{ etwa } r_{\max} = 1.001 \sqrt{1+\mu}$$

(2)  $\begin{cases} \dot{x} = x + \alpha y + x^2 y \\ \dot{y} = b - \alpha y - x^2 y \end{cases}$  glycolysis (Zuckerstoffwechsel)  $\alpha, b > 0$

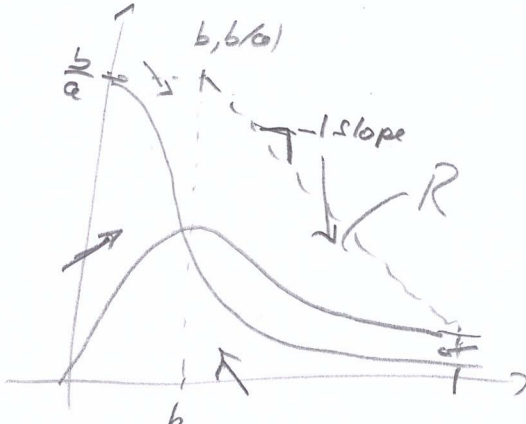
3

$x$ : [ADP],  $y$ : [fructose-phosphate]

Nullstellen:



Trapping region



$$x \text{ sehr groß} \Rightarrow \dot{x} \approx x^2 y, \dot{y} \approx -x^2 y \Rightarrow \frac{\dot{y}}{\dot{x}} = \frac{dy}{dx} = -1$$

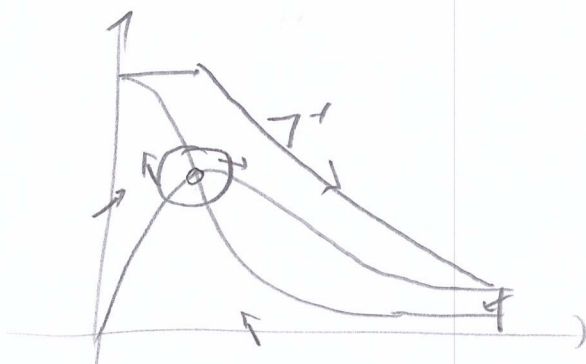
$$\Rightarrow \dot{x} - (-\dot{y}) = -x + \cancel{\alpha y} + \cancel{x^2 y} - (-b + \cancel{\alpha y} + \cancel{x^2 y}) \\ = b - x$$

$$\Rightarrow -\dot{y} > \dot{x} \text{ für } x > b \Rightarrow \text{Steigung } -1!$$

Sind wir trotz fehlenderen Bedingungen stabil?

G Nein! Was ist F mit dem Fixpunkt?

G Lade sie R dazwischen:



Ist FP wirklich stabil?

Check Eigenwerte des Jacobian-Matrix:

$$A = \begin{pmatrix} -1+2xy & \alpha+x^2 \\ -2xy & -(\alpha+x^2) \end{pmatrix} \Rightarrow \begin{pmatrix} -1+2\frac{b^2}{\alpha+b^2} & \alpha+b^2 \\ -2\frac{b^2}{\alpha+b^2} & -\alpha+b^2 \end{pmatrix}$$

$$\text{Fixpunkt: } x^* = b$$

$$y^* = \frac{b}{\alpha+b^2}$$

} Test/Merkzettel: liniale Eigenwerte

$$x^* = b + \alpha \frac{b}{\alpha+b^2} + \frac{b^2 b}{\alpha+b^2}$$

$$= \frac{-ab - b^3 + ab + b^2}{\alpha+b^2} = 0$$

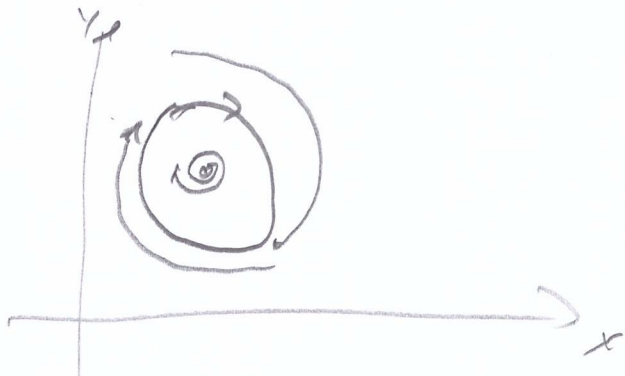
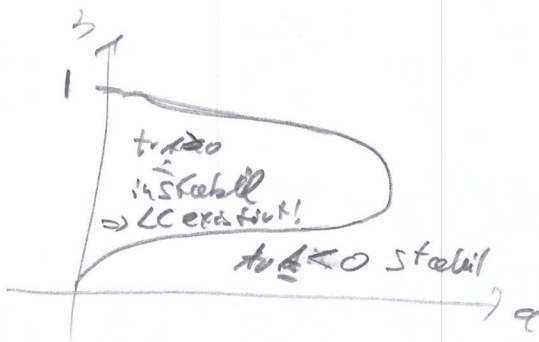
$$y^* = b - \alpha \frac{b}{\alpha+b^2} - \frac{b^2 b}{\alpha+b^2} = \frac{3ab^2 - ab - b^3}{\alpha+b^2} = 0$$

$$\det A = -\alpha^2 b^2 + \alpha b^2 + 2b^2 = \alpha + b^2 > 0$$

$$\operatorname{tr} A = -1 + 2 \frac{b^2}{\alpha+b^2} - (\alpha+b^2) = \frac{-\alpha^2 b^2 + 2b^2 - (\alpha+b^2)^2}{\alpha+b^2}$$

$$= \frac{-b^4 - (2\alpha-1)b^2 + \alpha - \alpha^2}{\alpha+b^2} \geq 0?$$

$$\operatorname{tr} A = 0 \text{ bei } b^2 = \frac{1}{2} (1 - 2\alpha \pm \sqrt{1 - 8\alpha})$$



### 3. Zusammenfassung

5

#### 1. Übung

- Love Affairs
- Maxwell-Block-Gleichungen

#### 1. Blatt

- 1. Lotka-Volterra-Modell
- 2. Kau.-du-Pol-Oszillation

#### 2. Übung

- Erzeugung eines dimensionsreduzierten Modells
- Poincaré-Abbildung
- (• Poincaré-Bendixson-Theorem)

#### 2. Blatt

- 3. Poincaré-Abbildung
- 4. Reduziertes SWIPEL-Modell

#### 3. Übung

- zeitliche diskrete Abbildungen
- Lorenz-System revisited

#### 3. Blatt

- 5. logistische Abbildung
- 6. Homoklinic Orbits in Lorenz-System

#### 4. Übung

- Hénon-Abbildung
- OGY-Kontrolle revisited
- Delay embedding

#### 4. Blatt

- 7. Hénon-Deveraux und Froehlich-Dynamiken
- 8. Chaos-Kontroll-OGY-Methode

#### 5. Übung

- komplexe Ginzburg-Landau-Gleichung
- FitzHugh-Nagumo-Modell
- Schlögl-Modell

#### 5. Blatt

- 9. Burgers-FHN-Dynamik
- 10. FitzHugh-Nagumo-System

#### 6. Übung

- Brusselator-Modell revisited
- Chirostatisches Wasserrad
- Free Rotation eines Sternen-Körpers

#### 6. Blatt

- 11. Stabilität der freien Rotation eines Sternen-Körpers
- 12. Chaos des Wasserrads

#### 7. Übung

- Poincaré-Bendixson-Theoreme